

УДК 537.311

К ТЕОРИИ ПРОВОДИМОСТИ НЕОДНОРОДНЫХ СРЕД
С МАЛОЙ КОНЦЕНТРАЦИЕЙ ВКЛЮЧЕНИЙ

В. А. Кашин

Вычислены составляющие тензора поляризуемости двумерной двухкомпонентной системы с включениями круговой формы, имеющими разные радиусы. Показано, что неаналитическая зависимость эффективной электропроводности от отношения проводимостей компонент сохраняет свой вид и после усреднения по размерам кругов. Рассматриваемая система исследована и спектральным методом.

Для эффективной электропроводности σ_e двумерной двухкомпонентной системы с включениями круговой формы, имеющими разные радиусы R_1 и R_2 , получена квадратичная по концентрации c поправка. Общая формула для эффективной электропроводности σ_e двухкомпонентной среды в c^2 -приближении получена в работе [1], в которой квадратичная по концентрации поправка выражена через поляризуемость пары включений во внешнем электрическом поле. Эта формула была применена для случая двумерной системы с включениями круговой формы одинакового радиуса при произвольном отношении проводимостей компонент $h = \sigma_2/\sigma_1$ (σ_1 — проводимость изотропной матрицы, σ_2 — проводимость включений).

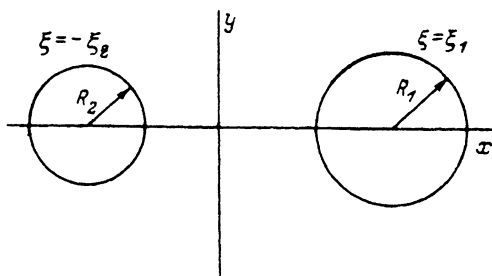
В настоящей работе показано, что эффективная электропроводность σ_e при $h \rightarrow 0$ содержит, как и в работе [1], неаналитический член вида $h^3 \ln h$ и эта логарифмическая особенность сохраняет свой вид и после усреднения по размерам кругов. Вычислены также компоненты тензора поляризуемости.

Кроме этого, в работах [1-3] была решена задача о спектре локальных колебаний, связанных как с парой включений круговой формы [1, 2], так и с включением произвольной формы (в том числе многосвязным) [3]. Оказалось, что локальные колебания (с частотами ω), существующие в системе и без внешнего переменного электрического поля, возникают только при вещественных и отрицательных значениях параметра $h(\omega) = \sigma_2(\omega)/\sigma_1(\omega)$ в соответствующей области частот. При этом частоты однородных (возбуждаемых однородным внешним электрическим полем) локальных колебаний, связанных с парой включений круговой формы, могут быть найдены как полюсы ее поляризуемости. Рассматриваемая в настоящей работе система с парой круговых включений разного радиуса с произвольными (вообще говоря, комплексными) проводимостями $\sigma_1(\omega)$ и $\sigma_2(\omega)$ исследована и спектральным методом, предложенным в работе [3]. Найдены собственные функции и собственные значения локальных колебаний и получено в явном виде выражение, являющееся спектральным представлением тензора поляризуемости для двух кругов разного радиуса.

Заметим, что точно решаемая задача о поляризуемости двух круговых цилиндров является сравнительно простым, но в то же время не тривиальным примером, на котором может быть проверена работоспособность общего метода, предложенного в работе [3].

1. Виртуальное разложение для эффективной проводимости

Рассмотрим двумерную систему с малой концентрацией включений круговой формы. Согласно результатам работы [1], для вычисления эффективной электропроводности такой среды в c^2 -приближении необходимо найти поляризуемость пары кругов. Для пары круговых включений разного радиуса (R_1 и R_2) эта задача может быть, как и в работе [1], решена точно в биполярных координатах [4].



Выберем координатную систему (x, y) согласно рисунку. Биполярные координаты ξ, ϑ вводятся с помощью соотношений [4]

$$x = a \operatorname{sh} \xi / (\operatorname{ch} \xi + \cos \vartheta), \quad y = a \sin \vartheta / (\operatorname{ch} \xi + \cos \vartheta). \quad (1)$$

Линия $\xi = \text{const}$ есть окружность радиуса $a/\operatorname{sh} \xi$ с центром в точке $x = a \operatorname{cth} \xi, y = 0$; границам включений отвечают $\xi = \xi_1$ (для правого круга) и $\xi = -\xi_2$ (для левого), причем

$$\exp [\pm (\xi_1 + \xi_2)] = \{[\rho^2 - (R_1 - R_2)^2]^{1/2} \pm [\rho^2 - (R_1 + R_2)^2]^{1/2}\}^2 / (4R_1 R_2), \\ \xi_1 = \ln \{[\rho/2 + a + (R_1^2 - R_2^2)/2\rho]/R_1\}, \quad \xi_2 = \ln \{[\rho/2 + a - (R_1^2 - R_2^2)/2\rho]/R_2\}. \quad (2)$$

а расстояние между центрами кругов ρ определяется из уравнения

$$\rho = (R_1^2 + a^2)^{1/2} + (R_2^2 + a^2)^{1/2}. \quad (3)$$

Асимптотическое выражение для потенциала запишем в виде

$$\psi = -E_0 r + 2pr/r^2 + \dots, \quad p_\alpha = \Lambda_{\alpha\beta} E_0 \beta. \quad (4)$$

Частными решениями уравнения Лапласа, остающимися конечными вне круговых включений $\xi \leq \xi_1$ и $\xi \geq -\xi_2$ и периодическими по ϑ , являются $\operatorname{sh} n\xi \cos n\vartheta, \operatorname{ch} n\xi \sin n\vartheta, \operatorname{sh} n\xi \sin n\vartheta$ и $\operatorname{ch} n\xi \cos n\vartheta$. В работе [1] при рассмотрении включений из пары кругов одинакового радиуса достаточно было использовать первые две из этих функций. Для случая пары кругов с разными радиусами $R_1 \neq R_2$ необходимо пользоваться всеми решениями. Поэтому потенциал вне включений ищем в виде

$$\psi_e = -E_0 r + \sum_{n=1}^{\infty} \{ (a_n e^{-n\xi} + d_n e^{n\xi}) \sin n\vartheta + (b_n e^{-n\xi} + c_n e^{n\xi}) \cos n\vartheta \}, \quad -\xi_2 \leq \xi \leq \xi_1. \quad (5)$$

Внутри правого включения

$$\psi_i^{(1)} = a_0^{(1)} + \sum_{n=1}^{\infty} (a_n^{(1)} \sin n\vartheta + b_n^{(1)} \cos n\vartheta) e^{-n\xi}, \quad \xi \geq \xi_1, \quad (6)$$

внутри левого включения

$$\psi_i^{(2)} = a_0^{(2)} + \sum_{n=1}^{\infty} (a_n^{(2)} \sin n\vartheta + b_n^{(2)} \cos n\vartheta) e^{n\xi}, \quad \xi \leq -\xi_2. \quad (7)$$

Граничные условия на правом и левом включениях обычные — непрерывность потенциала и нормальной составляющей плотности тока. Удов-

детворя граничным условиями при $\xi = \xi_1$ и $\xi = -\xi_2$, находим коэффициенты разложений (5)–(7)

$$\begin{aligned} a_n &= A_n E_{0y} (1 + \delta_0 e^{-2n\xi_1}) e^{-2n\xi_2}, & b_n &= A_n E_{0x} (1 - \delta_0 e^{-2n\xi_1}) e^{-2n\xi_2}, \\ d_n &= A_n E_{0y} (1 + \delta_0 e^{-2n\xi_2}) e^{-2n\xi_1}, & c_n &= -A_n E_{0x} (1 - \delta_0 e^{-2n\xi_2}) e^{-2n\xi_1}, \\ a_n^{(1)} &= \frac{2\sigma_1}{\sigma_1 - \sigma_2} A_n E_{0y} (1 + \delta_0 e^{-2n\xi_2}), & b_n^{(1)} &= -\frac{2\sigma_1}{\sigma_1 - \sigma_2} A_n E_{0x} (1 - \delta_0 e^{-2n\xi_2}), \\ a_n^{(2)} &= \frac{2\sigma_1}{\sigma_1 - \sigma_2} A_n E_{0y} (1 + \delta_0 e^{-2n\xi_1}), & b_n^{(2)} &= \frac{2\sigma_1}{\sigma_1 - \sigma_2} A_n E_{0x} (1 - \delta_0 e^{-2n\xi_1}), \\ A_n &= 2a\delta_0 (-1)^n / [1 - \delta_0^2 e^{-2n(\xi_1 + \xi_2)}], & \delta_0 &= (\sigma_1 - \sigma_2) / (\sigma_1 + \sigma_2) = (1 - h) / (1 + h), \\ & & h &= \sigma_2 / \sigma_1, & a_0^{(2)} &= -a_0^{(1)} = aE_{0x}. \end{aligned} \quad (8)$$

Находя асимптотическое выражение для потенциала ψ , из (5) и сравнивая его с выражением (4), получаем главные значения тензора $\Lambda_{\alpha\beta}^{(2)}$

$$\begin{aligned} \Lambda_{xx}^{(2)} &= -4a^2\delta_0 \sum_{n=1}^{\infty} \frac{ne^{-n(\xi_1 + \xi_2)}}{1 - \delta_0^2 e^{-2n(\xi_1 + \xi_2)}} [\operatorname{ch} n(\xi_1 - \xi_2) - \delta_0 e^{-n(\xi_1 + \xi_2)}], \\ \Lambda_{yy}^{(2)} &= -4a^2\delta_0 \sum_{n=1}^{\infty} \frac{ne^{-n(\xi_1 + \xi_2)}}{1 - \delta_0^2 e^{-2n(\xi_1 + \xi_2)}} [\operatorname{ch} n(\xi_1 - \xi_2) + \delta_0 e^{-n(\xi_1 + \xi_2)}]. \end{aligned} \quad (9)$$

При $\rho \rightarrow \infty$ имеем $\hat{\Lambda}^{(2)}(\infty) = \hat{\Lambda}_1^{(1)} + \hat{\Lambda}_2^{(1)}$, где $\hat{\Lambda}_i^{(1)} / \pi R_i^2$ — поляризуемость изолированного (отдельного) включения; $i = 1, 2$. Таким образом, получаем

$$\operatorname{Sp} [\hat{\Lambda}^{(2)} - \hat{\Lambda}_1^{(1)} - \hat{\Lambda}_2^{(1)}] = -8a^2\delta_0^3 \sum_{n=1}^{\infty} \frac{ne^{-3n(\xi_1 + \xi_2)}}{1 - \delta_0^2 e^{-2n(\xi_1 + \xi_2)}} \operatorname{ch} n(\xi_1 - \xi_2), \quad (10)$$

а пространственное усреднение дает

$$\int_{R_1 + R_2}^{\infty} \operatorname{Sp} [\hat{\Lambda}^{(2)} - \hat{\Lambda}_1^{(1)} - \hat{\Lambda}_2^{(1)}] d\rho = -2\pi R_1^2 R_2^2 \delta_0^3 F(\delta_0; R_1, R_2), \quad (11)$$

$$F(\delta_0; R_1, R_2) = \sum_{n=1}^{\infty} n \int_0^1 \frac{t^{3n-3} (1-t^2)^3}{1 - \delta_0^2 t^{2n}} \varphi(t; R_1, R_2) dt, \quad (12)$$

$$\varphi(t, R_1, R_2) = \frac{R_1 R_2}{2(R_1 + tR_2)(R_2 + tR_1)} \left[\left(\frac{R_1 + tR_2}{R_2 + tR_1} \right)^n + \left(\frac{R_2 + tR_1}{R_1 + tR_2} \right)^n \right].$$

При усреднении вместо ρ в (11) вводится новая переменная t , равная выражению (2), взятому с нижним знаком. При $h \rightarrow 0$ в разложении F (12), а следовательно, и f имеется неаналитический член

$$\Delta F = 32\zeta(3) \frac{R_1 R_2}{(R_1 + R_2)^2} h^3 \ln h, \quad (13)$$

при $R_1 = R_2$ совпадающий с полученным в работе [1]. Здесь $\zeta(3) = 1.202 \dots$ — дзета-функция Римана. Очевидно, что при дополнительном усреднении по радиусам включений вид особенности $h^3 \ln h$ сохраняется. Как показано в работе [1], функция $f(p, z)$ аналитична во всей плоскости z , разрезанной вдоль отрицательной вещественной полуоси. Здесь $f = \sigma_e / \sigma_1$, $p = 1 - c$.

2. Локальные колебания и тензор поляризуемости

Обратимся к исследованию локальных колебаний системы с включениями [3], свойства которой непосредственно связаны с поведением функции $f(p, z)$ на разрезе в комплексной плоскости аргумента z . Задача о спектре локальных колебаний, связанных с парой включений круговой

формы разного радиуса, также может быть решена в биполярных координатах. При рассмотрении задачи о спектре локальных колебаний в системе с включениями потенциал ищется в виде разложения (5)–(7) с $E_0=0$.

В работе [3] были получены и обсуждались общие свойства локальных колебаний. Был также рассмотрен конкретный пример пары круговых цилиндров одинакового радиуса. В частности, было показано, что ортонормированную систему образуют не сами собственные функции $\psi_\nu(\mathbf{r})$, а их градиенты: $\mathbf{e}_\nu(\mathbf{r}) = \nabla \psi_\nu(\mathbf{r})$.

Используя условие нормировки для собственных векторов $\mathbf{e}_\nu(\mathbf{r})$ и граничные условия при $\xi = \xi_1$ и $\xi = -\xi_2$ для пары круговых цилиндров разного радиуса, получаем два набора собственных значений

$$\varepsilon_{1n} = -\sigma_2(\omega_{1n})/\sigma_1(\omega_{1n}) = \text{th} \frac{1}{2} n (\xi_1 + \xi_2), \quad \varepsilon_{2n} = -\sigma_2(\omega_{2n})/\sigma_1(\omega_{2n}) = \text{cth} \frac{1}{2} n (\xi_1 + \xi_2) \quad (14)$$

и соответствующие им четыре типа собственных функций $\psi_{\lambda n}(\mathbf{r})$. Здесь $\lambda=1, 2, 3, 4$; $n=1, 2, \dots$. Нормированные собственные функции первого типа (соответствующие уровням ε_{1n}) имеют вид

$$\begin{aligned} \psi_{1n}^{(g)}(\mathbf{r}) &= A_n \text{ch } n\xi \sin n\vartheta, & -\xi_2 \leq \xi \leq \xi_1, \\ \psi_{1n}^{(1)}(\mathbf{r}) &= A_n \text{ch} \frac{1}{2} n (\xi_1 + \xi_2) e^{-n(\xi - \xi_1)} \sin n\vartheta, & \xi \geq \xi_1, \\ \psi_{1n}^{(2)}(\mathbf{r}) &= A_n \text{ch} \frac{1}{2} n (\xi_1 + \xi_2) e^{n(\xi + \xi_2)} \sin n\vartheta, & \xi \leq -\xi_2, \\ A_n &= \left(\frac{1 - \varepsilon_{1n}}{2\pi n} \right)^{1/2}, & \varepsilon_{1n} = \text{th} \frac{1}{2} n (\xi_1 + \xi_2), \quad \xi = \xi - \frac{1}{2} (\xi_1 - \xi_2). \end{aligned} \quad (15)$$

Нормированные собственные функции второго типа (соответствующие уровням ε_{2n}) имеют вид

$$\begin{aligned} \psi_{2n}^{(g)}(\mathbf{r}) &= -B_n \text{sh } n\xi \cos n\vartheta, & -\xi_2 \leq \xi \leq \xi_1, \\ \psi_{2n}^{(1)}(\mathbf{r}) &= -B_n \text{sh} \frac{1}{2} n (\xi_1 + \xi_2) e^{-n(\xi - \xi_1)} \cos n\vartheta, & \xi \geq \xi_1, \\ \psi_{2n}^{(2)}(\mathbf{r}) &= B_n \text{sh} \frac{1}{2} n (\xi_1 + \xi_2) e^{n(\xi + \xi_2)} \cos n\vartheta, & \xi \leq -\xi_2, \\ B_n &= \left(\frac{\varepsilon_{2n} - 1}{2\pi n} \right)^{1/2}, & \varepsilon_{2n} = \text{cth} \frac{1}{2} n (\xi_1 + \xi_2), \quad \xi = \xi - \frac{1}{2} (\xi_1 - \xi_2). \end{aligned} \quad (16)$$

Функции третьего типа $\psi_{3n}(\mathbf{r})$ с собственными значениями $\varepsilon_{3n} = \varepsilon_{1n}$ получаются из (15) заменой $\sin n\vartheta \rightarrow \cos n\vartheta$, функции четвертого типа $\psi_{4n}(\mathbf{r})$ с собственными значениями $\varepsilon_{4n} = \varepsilon_{2n}$ получаются из (16) заменой $\cos n\vartheta \rightarrow \sin n\vartheta$. Для пары включений одинакового радиуса ($\xi_1 = \xi_2 = \xi_0$) формулы (15), (16) совпадают с формулами, полученными в работе [3].

Вычисляя собственные векторы $\mathbf{e}^{(g)}(\mathbf{r})$, $\mathbf{e}^{(1)}(\mathbf{r})$ и $\mathbf{e}^{(2)}(\mathbf{r})$ во внешней области, внутри правого и внутри левого включений соответственно, легко проверить теперь их ортонормированность

$$\int \mathbf{e}_\nu(\mathbf{r}) \mathbf{e}_\mu(\mathbf{r}) d\mathbf{r} = \delta_{\nu\mu}. \quad (17)$$

Для этого необходимо проинтегрировать в биполярной системе координат по площади правого и левого включений и по внешней к ним области. При этом выполняются и «локальные» условия ортогональности [3]

$$\int \mathbf{e}_\nu(\mathbf{r}) \mathbf{e}_\mu(\mathbf{r}) \vartheta(\mathbf{r}) d\mathbf{r} = \frac{1}{1 + \varepsilon_\nu} \delta_{\nu\mu}, \quad \int \mathbf{e}_\nu(\mathbf{r}) \mathbf{e}_\mu(\mathbf{r}) [1 - \vartheta(\mathbf{r})] d\mathbf{r} = \frac{\varepsilon_\nu}{1 + \varepsilon_\nu} \delta_{\nu\mu},$$

где $\vartheta(\mathbf{r})=1$ внутри включения и $\vartheta(\mathbf{r})=0$ вне его.

Найденные собственные функции и собственные значения позволяют определить тензор поляризуемости $\hat{\Lambda}$ рассматриваемого тела. Общая формула для $\hat{\Lambda}$, полученная в работе [3], имеет вид

$$\Lambda_{\alpha\beta}(z) = -\frac{1-z}{4\pi} \sum_y (1+\varepsilon_y)^2 \frac{u_{y\alpha} u_{y\beta}}{z+\varepsilon_y}, \quad (18)$$

которая дает спектральное представление тензора поляризуемости макроскопического включения произвольной формы. Здесь

$$\mathbf{u}_y = \int \mathbf{e}_y(\mathbf{r}) \vartheta(\mathbf{r}) d\mathbf{r}. \quad (19)$$

Подставляя в (19) собственные векторы $\mathbf{e}_y(\mathbf{r})$, соответствующие собственным значениям ε_{1n} и ε_{2n} , и выполняя интегрирование в биполярной системе координат, для векторов \mathbf{u}_{1n} и \mathbf{u}_{2n} получаем выражения

$$\begin{aligned} u_{1n, x} = 0, \quad u_{1n, y} &= -4\pi a n (-1)^n A_n e^{-\frac{1}{2} n (\xi_1 + \xi_2)} \operatorname{ch} \frac{1}{2} n (\xi_1 + \xi_2) \operatorname{ch} \frac{1}{2} n (\xi_1 - \xi_2), \\ u_{2n, y} = 0, \quad u_{2n, x} &= -4\pi a n (-1)^n B_n e^{-\frac{1}{2} n (\xi_1 + \xi_2)} \operatorname{sh} \frac{1}{2} n (\xi_1 + \xi_2) \operatorname{ch} \frac{1}{2} n (\xi_1 - \xi_2). \end{aligned} \quad (20)$$

Аналогичные вычисления для векторов \mathbf{u}_{3n} и \mathbf{u}_{4n} приводят к следующему результату:

$$\begin{aligned} u_{3n, y} = 0, \quad u_{3n, x} &= -4\pi a n (-1)^n A_n e^{-\frac{1}{2} n (\xi_1 + \xi_2)} \operatorname{ch} \frac{1}{2} n (\xi_1 + \xi_2) \operatorname{sh} \frac{1}{2} n (\xi_1 - \xi_2), \\ u_{4n, x} = 0, \quad u_{4n, y} &= -4\pi a n (-1)^n B_n e^{-\frac{1}{2} n (\xi_1 + \xi_2)} \operatorname{sh} \frac{1}{2} n (\xi_1 + \xi_2) \operatorname{sh} \frac{1}{2} n (\xi_1 - \xi_2). \end{aligned} \quad (21)$$

Тогда составляющие тензора поляризуемости (18) принимают вид

$$\begin{aligned} \Lambda_{xx} &= -a^2 (1-z) \sum_{n=1}^{\infty} \frac{n (\varepsilon_{2n} - \varepsilon_{1n})}{(z + \varepsilon_{1n}) (z + \varepsilon_{2n})} \{ (1+z) \operatorname{ch} n (\xi_1 - \xi_2) - (1-z) e^{-n(\xi_1 + \xi_2)} \}, \\ \Lambda_{yy} &= -a^2 (1-z) \sum_{n=1}^{\infty} \frac{n (\varepsilon_{2n} - \varepsilon_{1n})}{(z + \varepsilon_{1n}) (z + \varepsilon_{2n})} \{ (1+z) \operatorname{ch} n (\xi_1 - \xi_2) + (1-z) e^{-n(\xi_1 + \xi_2)} \}. \end{aligned} \quad (22)$$

Нетрудно убедиться, что формулы (9) и (22) совпадают, что подтверждает справедливость спектрального подхода.

В заключение выражаю благодарность Б. Я. Балагурову за обсуждение работы.

С п и с о к л и т е р а т у р ы

- [1] Балагуров Б. Я. // ЖЭТФ. 1985. Т. 89. № 5. С. 1796—1809.
- [2] Балагуров Б. Я. // ЖЭТФ. 1985. Т. 88. № 5. С. 1664—1675.
- [3] Балагуров Б. Я. // ЖЭТФ. 1987. Т. 93. № 1. С. 316—329.
- [4] Морс Ф. М., Фешбах Г. Методы теоретической физики. Т. 2. М.: ИЛ, 1960. Гл. 10. 896 с.

ВНИПКТИ источников тока
Москва

Поступило в Редакцию
8 февраля 1989 г.